

<b>Zeitschrift:</b>	Archives des sciences [1948-1980]
<b>Herausgeber:</b>	Société de Physique et d'Histoire Naturelle de Genève
<b>Band:</b>	10 (1957)
<b>Heft:</b>	6: Colloque Ampère
<b>Artikel:</b>	Étude des variations des propriétés diélectriques dans les cristaux ioniques lors d'une transition ordre-désordre
<b>Autor:</b>	Meinnel, M.-J. / Clinet, R.
<b>DOI:</b>	<a href="https://doi.org/10.5169/seals-738729">https://doi.org/10.5169/seals-738729</a>

### Nutzungsbedingungen

Die ETH-Bibliothek ist die Anbieterin der digitalisierten Zeitschriften auf E-Periodica. Sie besitzt keine Urheberrechte an den Zeitschriften und ist nicht verantwortlich für deren Inhalte. Die Rechte liegen in der Regel bei den Herausgebern beziehungsweise den externen Rechteinhabern. Das Veröffentlichen von Bildern in Print- und Online-Publikationen sowie auf Social Media-Kanälen oder Webseiten ist nur mit vorheriger Genehmigung der Rechteinhaber erlaubt. [Mehr erfahren](#)

### Conditions d'utilisation

L'ETH Library est le fournisseur des revues numérisées. Elle ne détient aucun droit d'auteur sur les revues et n'est pas responsable de leur contenu. En règle générale, les droits sont détenus par les éditeurs ou les détenteurs de droits externes. La reproduction d'images dans des publications imprimées ou en ligne ainsi que sur des canaux de médias sociaux ou des sites web n'est autorisée qu'avec l'accord préalable des détenteurs des droits. [En savoir plus](#)

### Terms of use

The ETH Library is the provider of the digitised journals. It does not own any copyrights to the journals and is not responsible for their content. The rights usually lie with the publishers or the external rights holders. Publishing images in print and online publications, as well as on social media channels or websites, is only permitted with the prior consent of the rights holders. [Find out more](#)

**Download PDF:** 14.01.2026

**ETH-Bibliothek Zürich, E-Periodica, <https://www.e-periodica.ch>**

# Etude des variations des propriétés diélectriques dans les cristaux ioniques lors d'une transition ordre-désordre

par M.-J. MEINNEL et M<sup>le</sup> R. CLINET

Faculté des sciences de Rennes

Lors d'un précédent colloque nous avions signalé les premiers résultats de notre étude diélectrique des transitions de phase de  $\text{NH}_4\text{Br}$ ,  $\text{NH}_4\text{I}$ ,  $\text{KNO}_3$ ,  $\text{NaCN}$  et  $\text{KCN}$  [1]. Si l'étude des transitions des cristaux ioniques contenant des ions complexes ( $\text{CN}^-$ ,  $\text{NO}_3^-$ , ... et surtout  $\text{NH}_4^+$ ) a suscité de nombreux travaux en infrarouge, Raman, résonance nucléaire, diffraction de neutrons (en ne tenant malheureusement pas compte des traces d'eau), les études diélectriques, pourtant particulièrement fécondes, sont restées rares et souvent contradictoires [1, 2, 3, 4] (fig. 1).

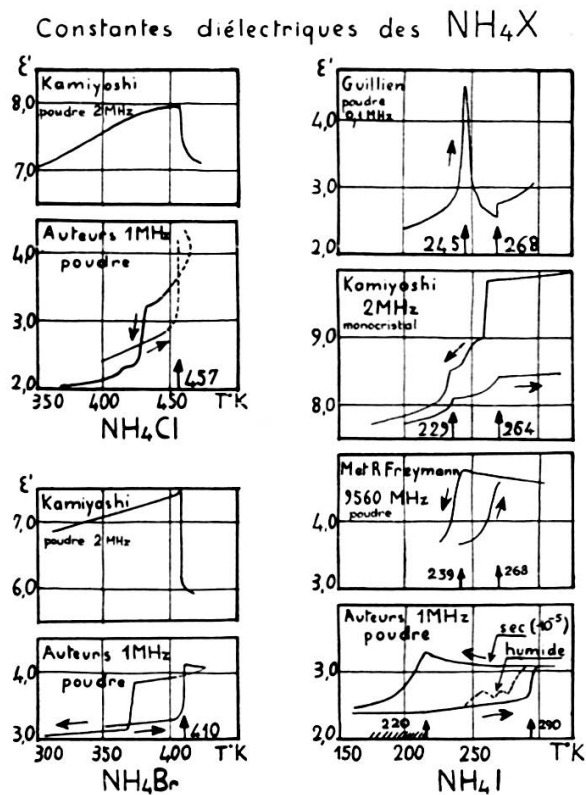


Fig. 1

Par suite de leur symétrie, les ions  $\text{NH}_4^+$ ,  $\text{NO}_3^-$  ne portent pas de moments dipolaires permanents, donc seules interviennent les polarisabilités électroniques et ioniques; mais il est intéressant de voir quelles sont, lors d'une transition ordre-désordre, les influences relatives des changements de volume et de configuration du réseau.

### DIFFICULTÉS EXPÉRIMENTALES

Afin d'éviter toute trace d'humidité, les produits en poudre ont été maintenus de 24 à 72 heures sous un *vide de*  $10^{-5}$  mm de Hg. puis l'enceinte de mesure a été remplie d'hélium sec sous une pression de 1 à 10 mm de Hg.

Les mesures ont été faites en faisant varier la température de  $15^\circ$  par heure environ. Nous donnons nos résultats pour 1 MHz, fréquence pour laquelle la conductivité ionique était en général suffisamment faible pour ne pas masquer les autres phénomènes.

### ETUDE DES TRANSITIONS DE PHASE DES HALOGÉNURES D'AMMONIUM (fig. 1)

Les halogénures d'ammonium se présentent sous trois formes cristallines différentes suivant la température (et parfois sous quatre formes). On désigne par phase I, celle qui existe aux températures les plus élevées; lorsque la température décroît apparaissent dans l'ordre les phases II, III, puis IV. Les diverses phases correspondent à un désordre plus ou moins important dans l'orientation de l'ion tétraédrique  $\text{NH}_4^+$ .

De nos mesures (fig. 1) il résulte que *dans tous les cas, la transition II-I est caractérisée par une augmentation brusque et très importante de la constante diélectrique* (de 20 à 50%); la transition I-II se traduit par la variation inverse, mais a lieu avec un retard de 30 à 40° (le retard semblant d'autant plus important que le produit a été mieux desséché au préalable).

Par suite d'une sublimation rapide au-dessus de  $420^\circ$  K, les mesures sur  $\text{NH}_4\text{Cl}$  n'ont qu'une valeur indicative quant à la valeur des variations observées; par contre, les mesures sur  $\text{NH}_4\text{Br}$  sont reproductibles si on ne maintient pas la température plus de quelques minutes au-dessus de  $410^\circ$  K.

Pour  $\text{NH}_4\text{I}$ , nos mesures mettent bien en évidence un saut important de  $\epsilon'$  aussi bien au refroidissement (vers  $220^\circ$  K sur la fig. 1) qu'au réchauffement ( $290^\circ$  K, fig. 1). Mais nous n'avons pu déterminer les « vraies » températures de transition: car pour d'autres produits dont la dessication a été encore plus poussée, ces transitions se sont produites vers  $160^\circ$  K,

et 300° K respectivement. Sur nos courbes, il existe une deuxième anomalie dans la variation de  $\epsilon'$  (moins frappante que la précédente) et qui doit correspondre à la transition II-III. Nous pensons que la proximité des diverses températures de transition et la possibilité de sous refroidir la phase I, pourraient provoquer l'apparition de phases nouvelles, différentes au refroidissement et à l'échauffement, et expliqueraient les différences de constante diélectrique, observées entre 220° et 300° K.

#### ETUDE DES TRANSITIONS DES NITRATES DES MÉTAUX MONOVALENTS (fig. 2)

A la température ambiante, la structure de ces nitrates est fonction du rayon ionique du cation: les nitrates de Li, Na et Ag ont la structure

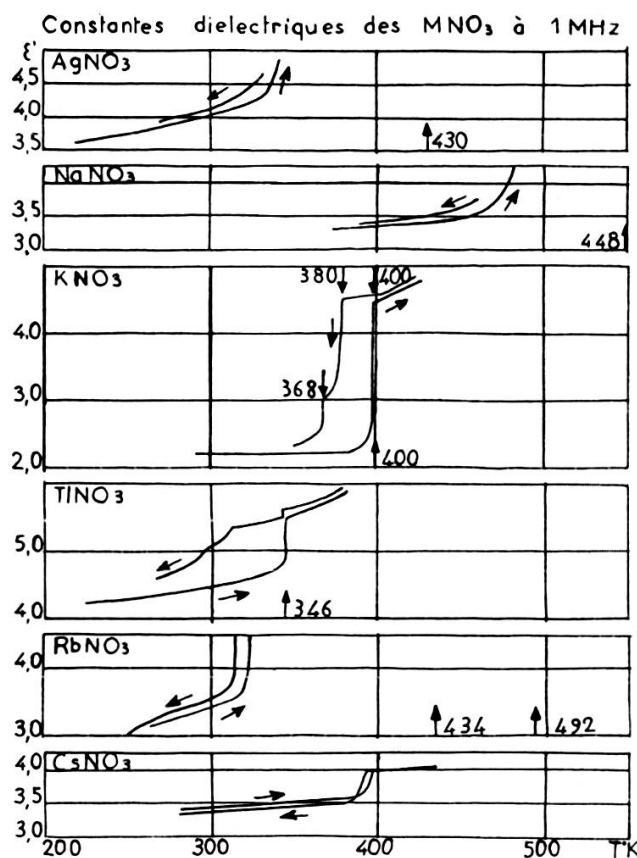


Fig. 2.

calcite; les nitrates de K et de Tl, la structure aragonite, les nitrates de Rb et Cs une structure plus complexe où le cation est entouré de 12 oxygènes. Dans tous les cas, l'orientation des ions  $NO_3^-$  est parfaitement déterminée

dans le réseau; mais il existe toujours une forme haute température où ces ions sont répartis au hasard suivant différentes orientations.

A 1 MHz, la conductivité des nitrates de Na, Ag et Rb était trop importante au voisinage de la transition pour nous permettre de définir une constante diélectrique. Par contre, *dans le cas des nitrates de K, Tl et Cs*, nous avons encore observé que la *transition ordre-désordre était caractérisée par une importante augmentation de  $\epsilon'$* ; le passage inverse du désordre à l'ordre se fait avec diminution de  $\epsilon'$ . Pour  $\text{CsNO}_3$ , la transition a lieu à peu près à la même température à l'échauffement et au refroidissement. Pour  $\text{KNO}_3$  et  $\text{TINO}_3$ , il semble que le retour à l'ordre soit plus difficile et se fasse avec apparition de phases intermédiaires: les transitions que nous avons observées pour  $\text{KNO}_3$  coïncident d'ailleurs avec celles déterminées par Kracek [5] au moyen de l'analyse thermique.

*Remarque.* — La comparaison de nos résultats sur les halogénures d'ammonium et de ceux obtenus par Y. Allain [6] sur un échantillon de  $\text{CH}_3 \cdot \text{NH}_3 \cdot \text{Cl}$  préparé par Jean Le Bot, montre immédiatement que la transition à  $260^\circ \text{ K}$  du dérivé monométhylé est l'analogie de la transition I-II qui se situe à  $457^\circ \text{ K}$  pour  $\text{NH}_4\text{Cl}$ .

1. Colloque A.M.P.E.R.E. 1955, *Cahiers de Physique*, 1955, 60, 8.
  2. GUILLIEN, *C. R.*, 1939, 208, 1561, 3.
  3. FREYmann, M. et R., *J. Chim. Phys.*, 1952, 279, 82.
  4. KAMIYOSHI, K. I., *Sci. Rep. Ritu*, A, 1956, 8, 252, 62; *J. Chem. Phys.*, 1956, 24, 1265, 6.
  5. KRACEK, *J. Phys. Chem.*, 1930, 34, 225.
  6. ALLAIN, Y., *D.E.S.*, Rennes, 1953.
-